

การประชุมวิชาการเครือข่ายวิศวกรรมเครื่องกลแห่งประเทศไทยครั้งที่ 14
2-3 พฤษภาคม 2543 โรงแรม โนโวเทล เชียงใหม่

การใช้เครื่องเป่าถ่านเพื่อทำความสะอาดผิวท่อของหม้อไอน้ำ ในโรงไฟฟ้าแม่เมาะ

Soot Blower Operation for Boiler Tube Cleaning

In Mae Moh Power Plant

เชิดชัย วิชา และ ทันงกิต กีรติศิริโรจน์
ภาควิชาวิศวกรรมเครื่องกล คณะวิศวกรรมศาสตร์ มหาวิทยาลัยเชียงใหม่
เชียงใหม่ 50200

โทร 053-944144, โทรสาร 053-944145, E-Mail : tanong@mech.dome.eng.cmu.ac.th

Cherdchai Wicha and Tanongkiat Kiatsiriroat
Department of Mechanical Engineering, Faculty of Engineering Chiang Mai University
Chiang Mai 50200, Thailand

Tel : 053-944144 Fax : 053-944145, E-Mail : tanong@mech.dome.eng.cmu.ac.th

บทคัดย่อ

งานวิจัยนี้ศึกษาหารูปแบบการเปลี่ยนแปลงค่าความต้านทานความร้อนของถ่านที่เกิดสะสมตัวบนผิวท่อในหม้อกานิดไอน้ำ ที่ใช้ถ่านหินลิกไนต์เป็นเชื้อเพลิง และหาแนวทางในการใช้เครื่องเป่าถ่านเพื่อทำความสะอาดผิวท่อ จากการศึกษาพบว่า รูปแบบการเปลี่ยนแปลงค่าความต้านทานความร้อนของถ่าน จะมีค่าเพิ่มขึ้นตามเวลา และเริ่มค่อยๆ คงที่เมื่อเข้าใกล้ค่าสูงสุด การเก็บสะสมตัวของถ่านบริเวณ Furnace zone จะมีอัตราเร็วกว่าบริเวณ Convection zone ทำให้ต้องใช้ความถี่ในการเป่าทำความสะอาดท่อสูง คือ 22 ครั้งต่อวัน ส่วนบริเวณ Convection zone จะต้องใช้เครื่องเป่าถ่านเพื่อทำความสะอาดท่อที่ SH. horizontal high temp. ass'y, SH. horizontal low temp. ass'y, RH. horizontal ass'y, Economizer interm./lower ass'y และ Economizer upper ass'y ด้วยความถี่ 10, 4, 4, 3 และ 2 ครั้งต่อวันตามลำดับ จะทำให้สัมบลึงค่าใช้จ่ายน้อยที่สุดประมาณ 62,537 บาทต่อวัน สามารถประหยัดค่าใช้จ่ายได้ ประมาณ 284,475 บาทต่อวัน หรือประมาณ 93,307,800 บาทต่อปี คิดเป็นถ่านหินลิกไนต์ที่ประมาณ 171,838 ตันต่อปี หรือประมาณ 8.13 % ของราคาก๊ซเชื้อเพลิงที่ใช้ทั้งหมด

Abstract

This research is to study the effect of ash deposition on thermal resistance of coal-fired boiler tubes in Mae Moh power plant. The suitable frequency in using soot blower for cleaning up the boiler tube surfaces is considered. From the study, the thermal resistance increases with time and becomes nearly constant when it closed the maximum limit. The ash deposition rate in the furnace zone is higher than that in the convection zone and the optimal frequency in using its soot blower is 22 times/day while those of the soot blowers at the SH. horizontal high temp. ass'y, SH. horizontal low temp. ass'y, RH. horizontal ass'y, Economizer interm./lower ass'y and Economizer upper ass'y should be at 10, 4, 4, 3 and 2 times/day respectively. The operating cost estimated is amount 62,537 Baht/day and the operating cost could be saved of 284,475 Baht/day or 93,307,800 Baht/year. On the other words, it saves lignite consumption for 171,838 ton/year that is 8.13 % of the total fuel cost.

1.บทนำ

หม้อกําเนิดไอน้ำของโรงไฟฟ้าแม่مهaje ใช้ถ่านลิกไนต์จากเหมืองแม่مهaje เป็นเชื้อเพลิง ซึ่ง จะมีค่าความร้อน (Heating Value) ต่ำ มีปริมาณความชื้น (Moisture), ซัลเฟอร์ (Sulphur) และถ่าน (Ash) ค่อนข้างสูง (High Heating Value = 2,200 - 2,817 kcal/kg, Moisture = 32 %, Sulphur = 1.7 %, Ash = 22-26 %) จากคุณสมบัติดังกล่าวมีผลทำให้ การสะสมตัวของถ่านผิวท่อสูง ทำให้เกิดปัญหาในการเดินเครื่อง โดยถ้าที่เกาจะสะสมตัวบนผิวท่อันนั้น จะเป็นตัวการเพิ่มความต้านทานความร้อน (Heat Resistance) ที่ผิวท่อ ขัดขวางการถ่ายเทความร้อนจากอากาศร้อน (Hot gas) ไปยังไอน้ำหรือไอน้ำ ที่อยู่ภายในห้องทำให้ปริมาณไอน้ำที่ผลิตได้น้อยกว่าสภาพปกติ ส่งผลให้ต้องเพิ่มปริมาณเชื้อเพลิงมากขึ้น เพื่อจะได้ปริมาณไอน้ำตามที่ต้องการ จึงทำให้เกิดการลิ้นเปล่องเชื้อเพลิง จากปัญหาที่เกิดขึ้นดังกล่าว จึงทำให้มือกําเนิดไอน้ำที่ใช้ถ่านพิเศษเป็นเชื้อเพลิง ต้องมีอุปกรณ์ที่ใช้ทำความสะอาดผิวท่อเมื่อมีการสะสมตัวของถ่านขึ้น ซึ่งเรียกอุปกรณ์ดังกล่าวว่า เครื่องเป่าถ่าน (Soot Blower) แต่ในปัจจุบันในหม้อกําเนิดไอน้ำยังไม่มีตัวที่บังบอกรถึงปริมาณถ่านที่เกาบนผิวท่อในแต่ละพื้นที่ ทำให้พนักงานเดินเครื่อง (Operator) ใช้เครื่องเป่าถ่านไม่เหมาะสมกับปริมาณถ่านที่เกาบนผิวท่อ หรือไม่เป็นไปตามความเป็นจริง เป็นผลให้ถ่านเปล่องปริมาณไอน้ำ (Steam) ที่ใช้ในการเป่าทำความสะอาดถ่านผิวท่อ ส่งผลให้ท่อ Boiler Tube บริเวณที่เป่ามากเกินไปเกิดการสึกกร่อน (Erosion) และบริเวณที่เป่าทำความสะอาดน้อยไม่สะอาดเกิดปัญหาการผุกร่อน (Corrosion) เป็นสาเหตุทำให้ห่อ Boiler Tube เกิดแตกเสียหายในเวลาต่อมา

ด้วยเหตุดังกล่าว จึงได้ทำการศึกษาถึงการเกาตัวของถ่านผิวท่อ ที่แต่ละสภาวะการเดินเครื่อง โดยใช้ทฤษฎีการถ่ายเทความร้อน มาเป็นตัวตรวจวัด โดยการเก็บข้อมูลแล้วนำมาคำนวณหารูปแบบการเปลี่ยนแปลงความต้านทานความร้อนเทียบกับเวลาในแต่ละพื้นที่ จากรูปแบบการเกาสะสมของถ่านดังกล่าวจะนำไปประเมินผลทางเศรษฐศาสตร์ เพื่อวิเคราะห์หาความถี่หรือช่วงเวลาที่เหมาะสมในการใช้เครื่องเป่าถ่าน ซึ่งจะเป็นประโยชน์กับพนักงานเดินเครื่อง ในกรณีไปพิจารณาการใช้ เครื่องเป่าถ่าน ให้เหมาะสมกับการเกาตัวของถ่านในแต่ละพื้นที่ ทำให้ลดปัญหาตามที่กล่าวมาแล้ว เพิ่มประสิทธิภาพในการแลกเปลี่ยนความร้อนของหม้อ

กําเนิดไอน้ำ และประยุตค์ใช้จ่ายถ่านเชื้อเพลิง และปริมาณไอน้ำที่ใช้ในการทำความสะอาดห่อ

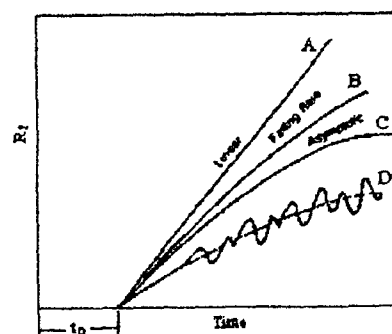
2. ทฤษฎีที่ใช้ในงานวิจัย

2.1 รูปแบบการสะสมตัวของถ่านบนผิวห่อ

ในหม้อกําเนิดไอน้ำ (Boiler) ที่ใช้ถ่านพิเศษเป็นเชื้อเพลิง Fouling ที่เกิดขึ้นจะเป็นแบบ Particulate Fouling ซึ่งเป็นอนุภาคของแข็งที่แขวนลอยอยู่ในห้องไอล ไปเกาะสะสมบนพื้นที่ผิวและเปลี่ยนความร้อน เมื่อมี Unburnt Fuel หรือ Ashes ถูกพัดพามาใน kazoo เหาไว้ ขนาดและรูปร่างของอนุภาค จะมีขนาดตั้งแต่ต่ำกว่าไมโครเมตร จนถึงขนาดประมาณ 2-3 มิลลิเมตร Particulate Fouling ที่พบได้แก่ Sand, Muds, Corrosion Debris, Dust ใน Gas Stream รวมถึง Ashes ใน Combustion Gas ด้วย การเกาะสะสมตัวสุทธิของ Deposit บนพื้นที่ผิวและเปลี่ยนความร้อน ค่าอัตราการสะสมตัวของถ่านจะขึ้นกับ อัตราการเกาะตัวของสักปرا (Deposition Rate, $\dot{\theta}_d$) กับอัตราการหลุดร่วง (Removal Rate, $\dot{\theta}_r$) ของถ่านหรือสักปرا (Deposit) ซึ่งจะได้ตามสมการ [2] ดังนี้

$$\frac{dR_f}{dt} = \dot{\theta}_d - \dot{\theta}_r \quad (1)$$

โดยทั่วไปรูปแบบของการเกาะตัวของ Fouling บนห่อท่อจะมีด้วยกัน 4 แบบ คือ แบบ Linear (A), แบบ Falling Rate (B), แบบ Asymptotic (C), แบบ Sawtooth Configuration (D) รูปแบบทั้งหมดจะเป็นแฟลตเตอร์กับเวลาตามที่แสดงในรูปที่ 1



รูปที่ 1 แสดงรูปแบบของการเกาะตัวของ Fouling [3]

รูปแบบที่ใช้คือการเกิด Fouling อย่างกว้างขวาง คือ Asymptotic Fouling ดังแสดงในกราฟรูปแบบ C การณ์ดังกล่าว จะเกิดเมื่ออัตราการเกะสะสมตัว มีค่าคงที่ และอัตราการหลุดร่วง เป็นสัดส่วนกับขนาดชั้นความหนาของ Fouling และถ้าว่างเฉือนระห่วงชั้น มีค่าลดลงตามเวลา และถ้าว่า ขบวนการระหว่างชั้นมีค่า้อยไม่นำมาพิจารณา สมมุติให้ พังก์ชันของอัตราการหลุดร่วง (\dot{R}_f) เป็นสัดส่วนกับค่าความต้านทานความร้อนของ Fouling หรือ Fouling Resistance ($\dot{R}_f = bR_f$) และพังก์ชันการเกะสะสมตัว (Deposition) มีค่าคงที่ ($\dot{R}_d = a$) ดังนั้นสมการที่ 1 จะเขียนได้ใหม่ดังสมการ

$$\frac{dR_f}{dt} = a - bR_f \quad (2)$$

เมื่อ a , b เป็นค่าคงที่ (Constant) ค่า Fouling Resistance จะได้เป็น

$$R_f = R_f^* (1 - e^{-b\theta}) \quad (3)$$

เมื่อ R_f^* = Asymptotic Fouling Factor
= a / b

θ = Time Constant = $1 / b$

3. วิธีการวิจัย

3.1 หม้อกำเนิดไอน้ำที่ทำการศึกษา

โครงการนี้จะทำการศึกษาเกี่ยวกับการสะสมตัวของเถ้า (Ash) ในหม้อกำเนิดไอน้ำ ของโรงไฟฟ้าแม่เมาะ หน่วยที่ 10 ขนาดกำลังผลิต หน่วยละ 300,000 kW โดยมีข้อมูลทางด้านเทคนิคดังนี้

Type : Force Circulation Boiler (Water Tube Boiler)

Steam Production	250	kg/s
Steam Pressure	167	bar(g)
Steam Temperature	540	°C
Lignite Consumption	300	Ton/hr
		(Maximum Load)
Total Combustion Air	365	kg/s

ถ่านหินที่ใช้เป็นถ่านหินเล็กในต์จากเหมือง มีค่า Coal Fineness 70-75 % ผ่านตะแกรง 200 mesh ค่า Burner

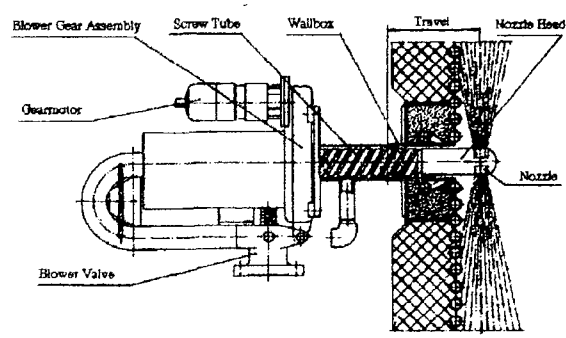
Tilting Position -5 ถึง +5 องศา ค่า Excess Air 20 % ที่บริเวณพื้นที่ Furnace Zone และ บริเวณแมลง Convection Zone (Superheater Coil, Reheater Coil และ Economizer Coil)

3.2 เครื่องเป่าเถ้า (Soot Blower)

หม้อกำเนิดไอน้ำของโรงไฟฟ้าแม่เมาะ หน่วยที่ 8-11 จะมีเครื่องเป่าเถ้า ทั้งหมด 182 ตัวต่อหน่วย โดยแยกเป็น เครื่องเป่าเถ้า ที่ทำความสะอาดผังเตาบริเวณ Furnace Zone จำนวน 98 ตัว ซึ่งเรียกว่า Short Retracting Blower และเครื่องเป่าเถ้า ที่ทำความสะอาด Superheater Coil, Reheater Coil และ Economizer Coil หรือ Convection Zone มีจำนวน 84 ตัว จะเรียกว่า Long Retracting Blower ดังแสดงในรูป 2 และ 3 สำหรับข้อมูลของเครื่องเป่าเถ้าแต่ในแบบ จะแสดงในตารางที่ 1

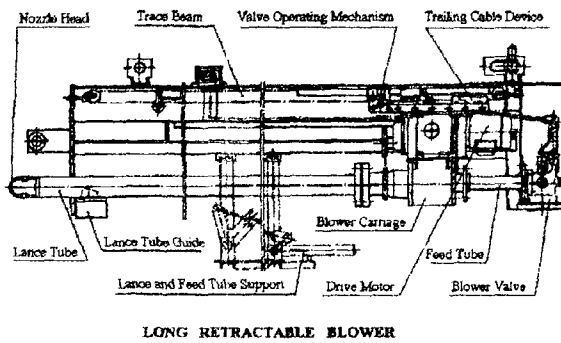
ตารางที่ 1 ข้อมูลของเครื่องเป่าเถ้าในหม้อกำเนิดไอน้ำ

Soot Blower	Short Retracting Blower	Long Retracting Blower
1. Type	V58	RKS81E
2. Number	98 EA.	84 EA.
3. Power per blower	0.25 kW	0.75 kW
4. Blower Travel	-	7415 mm.
5. Blowing Time/Blower	10 sec.	390 sec.
6. Operational Time	36 sec.	406 sec.
7. Steam Condition	174 bar, 405 °C	174 bar, 405 °C
8. Blowing Pressure	10.34 bar	5 - 12 bar
9. Speed of Motor	1410 rpm.	1390 rpm.



รูปที่ 2 เครื่องเป่าเถ้า Short Retracting Blower

Type V58



รูปที่ 3 เครื่องเป่าถ่าน Long Retracting Blower
Type RKS 81 E

3.3 วิธีการวิจัย

3.3.1 ค่าความต้านทานความร้อน (Heat Resistance, R_t)

ของถ่าน (Ash) ที่เกะบันผนังท่อ Boiler Tube โดยการแยกพิจารณาถ่านที่บริเวณ Furnace Zone หรือ Water Wall Tube (Radiation Zone) และบริเวณ Superheater Coil, Reheater Coil และ Economizer Coil (Convection Zone)
ดังรูปที่ 4 โดยแยกพิจารณาที่บริเวณต่างๆ ดังนี้

3.3.1.1 Furnace Zone

คำนวณหาค่าการถ่ายเทความร้อน ซึ่งหาได้จากการ

$$Q_{WALL} = UA \Delta T = UA (T_g - T_w) \quad (4)$$

$$\text{และ } Q_{WALL} = \dot{m} \times Q_L \quad (5)$$

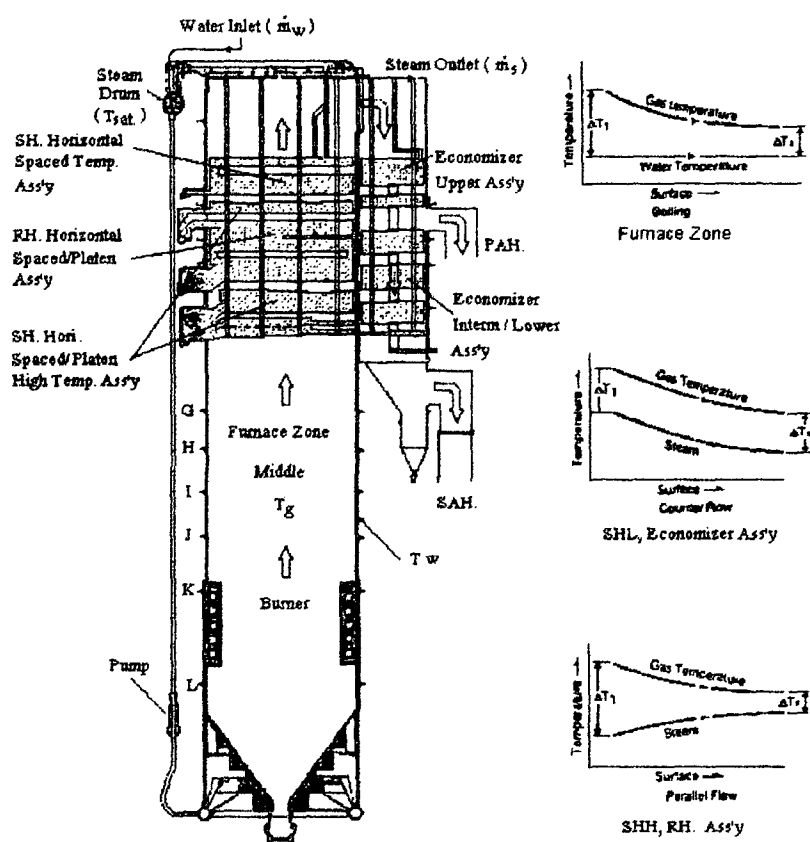
เมื่อ Q_L = ค่าความร้อนแห้งกลาญเป็นไออก

(Latent Heat) (kJ/kg)

$$T_w = T_{sat}$$

ดังนั้น จากสมการ (4) และ (5) จะได้ ค่า Heat Resistance (R_t) ดังนี้

$$R_t = \frac{1}{UA} = \frac{(T_g - T_{sat})}{\dot{m} \times Q_L} \quad (6)$$



รูปที่ 4 โรงไฟฟ้าแม่น้ำ หน่วยที่ 8-11

3.3.1.2 Convection Zone

แยกพิจารณาออกเป็นพื้นที่ไทร์ท ได้ 4 พื้นที่ Economizer Ass'y, SH. Horizontal Spaced Low Temp. Ass'y, RH. Horizontal Spaced/Platen Ass'y และ SH. Horizontal Spaced/Platen High-Temp. Ass'y โดยจะทำการเก็บข้อมูล อุณหภูมิ ความดันและอัตราการไหลของไอน้ำและกําชร้อนที่สภาวะเข้า-ออก ในแต่ละพื้นที่ เพื่อนำมาคำนวณหาค่าความต้านทานความร้อน (R_i) ดังนี้

$$\text{จาก } Q = \dot{m}_s C_p (T_{s,out} - T_{s,in}) \quad (7)$$

$$\text{และ } Q = UA \Delta T_m$$

$$= UA \frac{(\Delta T_1 - \Delta T_2)}{\ln (\Delta T_1 / \Delta T_2)}$$

จะได้ค่า Heat Resistance (R_i) ดังนี้

$$R_i = \frac{1}{UA}$$

$$= \frac{(\Delta T_1 - \Delta T_2)}{\ln (\Delta T_1 / \Delta T_2) \cdot \dot{m}_s C_p (T_{s,out} - T_{s,in})} \quad (8)$$

3.3.2 รูปแบบการสะสมตัวของถ่านหินผงท่อ

การหารูปแบบของการเกิดถ่านหินผงท่อในหม้อกําเนิดไอน้ำ (Boiler) จะใช้สมการ (2) และ (3) โดยจะนำค่า Heat Resistance (R_i) ที่คำนวณได้จาก 3.3.1 มาเฉลี่ยหาการเปลี่ยนแปลงของ R_i เทียบกับเวลา ดังแต่สภาวะจะต้องถึงสภาวะที่มีถ่านหินสะสมบนผิวท่อ เมื่อนำมูลค่าหักห้ามการเปลี่ยนแปลงเทียบกับเวลา (Math Model) จะได้ดังสมการที่ 9 และรูปแบบดังกล่าวเมื่อนำมาเขียนกราฟจะได้ความสัมพันธ์ระหว่าง R_i กับเวลา ดังรูปที่ 5

$$R_i = R_f + R_{i0}$$

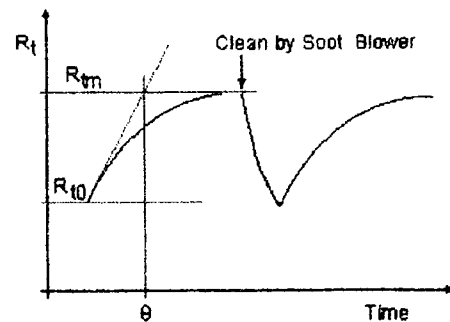
$$= R_f (1 - e^{-\theta t}) + R_{i0} \quad (9)$$

$$\text{และ } R_f = R_m - R_{i0}$$

เมื่อ R_{i0} = ค่าความต้านทานความร้อน

ที่สภาวะเดิม ($t = t_0$)

R_m = ค่าความต้านทานความร้อนที่สภาวะ เดามีถ่านหินมากที่สุด ($t = t_m$)



รูปที่ 5 แสดงความสัมพันธ์ระหว่าง R_i กับเวลา

3.3.3 ความถี่ในการใช้เครื่องเป่าถ่าน

ทำการพิจารณาถึงค่าใช้จ่ายที่เกิดขึ้น ในด้านการใช้เชื้อเพลิงและความเสื่อมเปลืองไอน้ำในการทำความสะอาดท่อ เมื่อมีถ่าน (Ash) เกาะบนผิวท่อ ตามรูปแบบการเกาะสะสมตัวของถ่านที่ได้จากการวิเคราะห์ เพื่อกำหนดมาตรการในการทำความสะอาดถ่าน ที่เกาะสะสมในแต่ละพื้นที่ของหม้อกําเนิดไอน้ำ (Boiler) โดยประเมินค่าความถี่หรือช่วงเวลา (Period) ในการทำความสะอาด ที่เหมาะสม

3.3.3.1 ค่าใช้จ่ายในการใช้เครื่องเป่าถ่าน ($Cost_{soot}$)

ค่าใช้จ่ายในการทำความสะอาดท่อของหม้อกําเนิดไอน้ำ โดยใช้เครื่องเป่าถ่าน จะมาจากค่าพลังงานไฟฟ้าที่มอเตอร์ใช้ในการขับเคลื่อนเครื่องเป่าถ่าน ค่าใช้จ่ายจากไอน้ำที่ใช้เป่าทำความสะอาดท่อ และค่าบำรุงรักษาเครื่องเป่าถ่าน

ค่าใช้จ่ายจากพลังงานไฟฟ้าที่มอเตอร์ใช้ในการขับเคลื่อนเครื่องเป่าถ่าน ($Cost_E$)

$$Cost_E = W_{motor} \cdot C_E \quad (10)$$

$$= (N_1 \cdot N_2 \cdot P_E \cdot Time) \cdot C_E$$

เมื่อ N_1 = จำนวนครั้งในการเป่า

N_2 = จำนวนเครื่องเป่าถ่านที่ใช้งาน

P_E = กำลังที่ใช้ใน Motor (kW)

Time = เวลาที่ใช้ในการเป่าถ่านต่อตัว (h)

C_E = ค่ากระแสไฟฟ้าต่อหน่วย kWh

= 1.7385 บาท / kWh

ค่าใช้จ่ายจากไอน้ำที่ใช้เป็นกำลังความสะอาดห่อ (Cost_S)

คำนวณจาก

$$\text{Cost}_S = \text{Cost}_Q + \text{Cost}_W \quad (11)$$

$$= \frac{m_{soot} (h_s - h_f) \cdot C_L + m_{soot} \cdot C_W}{LHV}$$

เมื่อ Cost_Q = ค่าใช้จ่ายเพลิงที่หักบ้าน้ำ

Cost_W = ค่าใช้จ่ายของปริมาณน้ำ

m_{soot} = ปริมาณไอน้ำที่ใช้ทำความสะอาด (kg)

h_s = Enthalpy ของไอน้ำ (kJ/kg)

h_f = Enthalpy ของน้ำที่เข้าไปใน
หม้อกานิดไอน้ำ (kJ/kg)

LHV = Low Heating Value (kJ/kg)

C_L = ราคาถ่านหิน = 543 บาท/Ton

C_W = ราคาน้ำ = 42.03 บาท/1000 kg

ค่าใช้จ่ายในการบำรุงรักษาเครื่องเป่าเถ้า (Cost_M) หาได้
จากการ

$$\text{Cost}_M = N_1 \cdot N_2 \cdot C_M \quad (12)$$

เมื่อ C_M = ค่าการบำรุงรักษาต่อการใช้งานหนึ่งครั้ง
(C_M = 5.07 บาท/ครั้ง สำหรับ Short Retracting Blower และ
C_M = 32.20 บาท/ครั้ง สำหรับ Long Retracting Blower)

ดังนั้นค่าใช้จ่ายในการใช้เครื่องเป่าเถ้า (Cost_{soot}) หาได้จาก

$$\text{Cost}_{\text{soot}} = \text{Cost}_E + \text{Cost}_S + \text{Cost}_M \quad (13)$$

3.3.3.2 ค่าใช้จ่ายของเชื้อเพลิงเมื่อมีเถ้าสะสม

หาได้จากการล้างงานความร้อนที่ใช้เพิ่มขึ้นเมื่อมีการ
สะสมของเถ้า

$$\text{Cost}_t = (\dot{Q}_{\text{gas}} / LHV) \times C_L \quad (14)$$

$$\text{โดย } \dot{Q}_{\text{gas}} = \dot{m}_g C_{pg} q_w \int_0^t R_f (1 - e^{-t/\theta}) dt$$

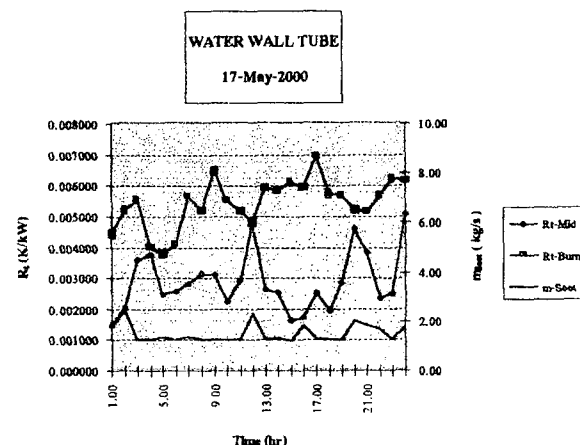
ดังนั้นจุดที่เหมาะสมในการใช้เครื่องเป่าเถ้าคือจุดที่ทำเกิด
ค่าใช้จ่าย (Cost_{Total}) น้อยที่สุด

นั้นคือ Cost_{Total} = Cost_{soot} + Cost_t มีค่าต่ำสุด

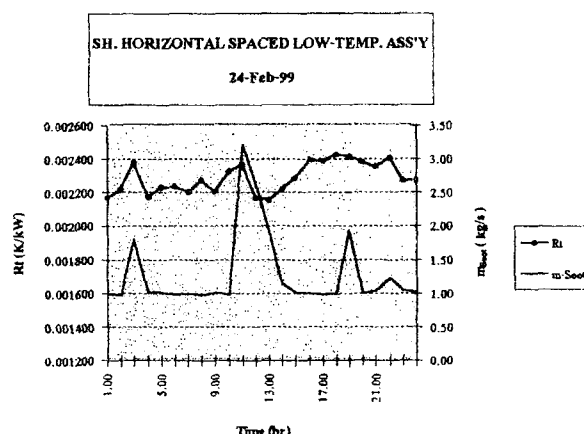
4. ผลการวิจัย

4.1 ค่า Heat Resistance (R_t)

จากการคำนวณจะได้ค่า Heat Resistance ที่บริเวณ Furnace Zone และ Convection Zone ดังแสดงในรูปที่ 6, 7 เมื่อทำการใช้เครื่องเป่าเถ้าทำความสะอาดท่อค่า Heat Resistance จะลดลงมาที่ค่าต่ำสุด (R₀) เมื่อหยุดทำความสะอาด ค่า Heat Resistance จะค่อยๆ เพิ่มขึ้นจนเข้าใกล้ค่าสูงสุด (R_m)



รูปที่ 6 ค่า Heat Resistance (R_t) for Furnace Zone



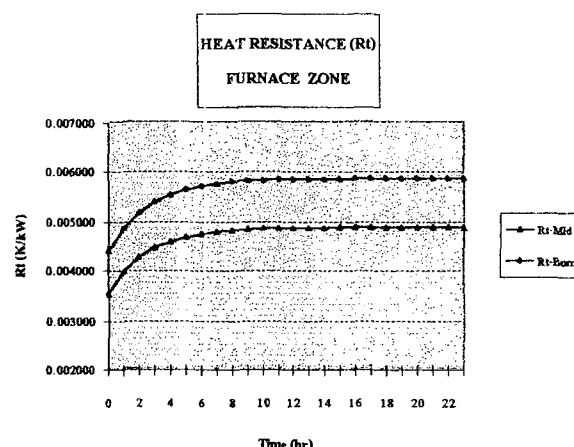
รูปที่ 7 ค่า Heat Resistance (R_t) for Convection Zone

4.2 รูปแบบการสะสมตัวของเถ้า

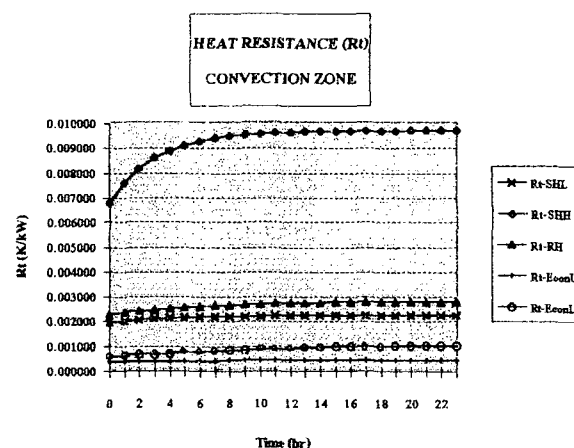
จากค่าความต้านทานความร้อน (Heat Resistance , R_t) ที่ได้จาก 4.1 ในแต่ละพื้นที่ เมื่อนำมาวิเคราะห์หากการเปลี่ยนแปลงที่เพิ่มขึ้นตามเวลา จะได้ผลดังรูปที่ 8, 9 จาก Math Model ตามสมการ $R_t = R_f (1 - e^{-t/\theta}) + R_0$ ค่าตัวแปรต่างๆ เมื่อกำหนดค่าแล้วได้ผลดังตารางที่ 2

ตารางที่ 2. Math Model of Heat Resistance (R_i , (K/kW))

Furnace/Convection Zone	$R_i \times 10^{-3}$	$R_{i0} \times 10^{-3}$	0
1. Burner Area (Furnace)	1.47833118	4.38858462	2.64428789
2. Middle Area (Furnace)	1.33763079	3.53795455	2.53024471
3. Economizer Lower Ass'y	0.56500869	0.56516209	12.23288552
4. Economizer Upper Ass'y	0.03544667	0.39540476	3.60147566
5. SH. Low Temp. Ass'y	0.25835245	1.98379164	4.31584906
6. SH. High Temp. Ass'y	2.93133160	6.78305861	3.13662220
7. RH. Horizontal Ass'y	0.51534600	2.29026006	6.26270000



รูปที่ 8 รูปแบบการเปลี่ยนแปลงค่า Heat Resistance (R_i) for Furnace Zone

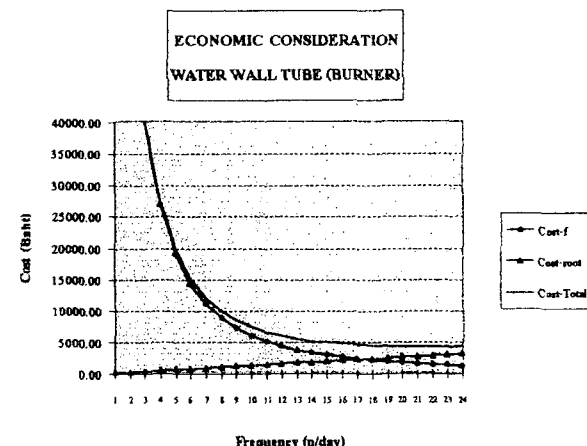


รูปที่ 9 รูปแบบการเปลี่ยนแปลงค่า Heat Resistance (R_i) for Convection Zone

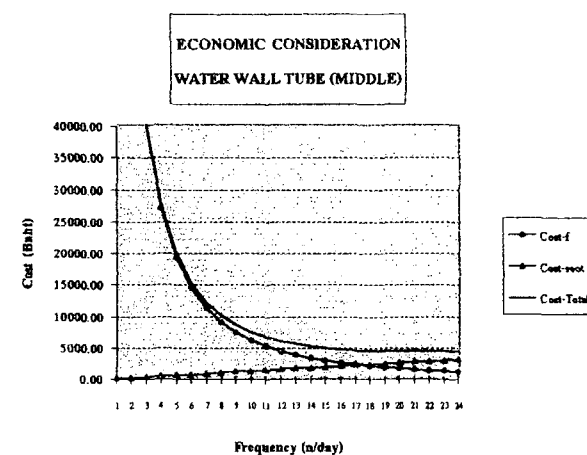
4.3 ความถี่ในการใช้เครื่องเป่าแก๊ส

จาก Math Model ของค่าความต้านทานความร้อน เมื่อนำมาประเมินหาจุดที่ทำให้เกิดค่าใช้จ่ายน้อยที่สุด ซึ่งจะนำ

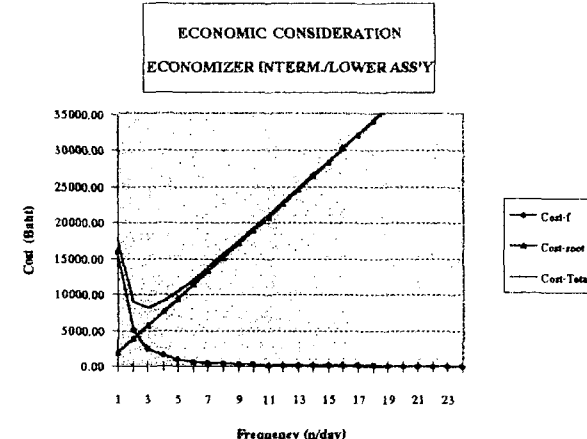
ไปกำหนดมาตรการการใช้เครื่องเป่าแก๊สทำความสะอาดห้องผลการประเมินแสดงดังรูปที่ 10 - 16



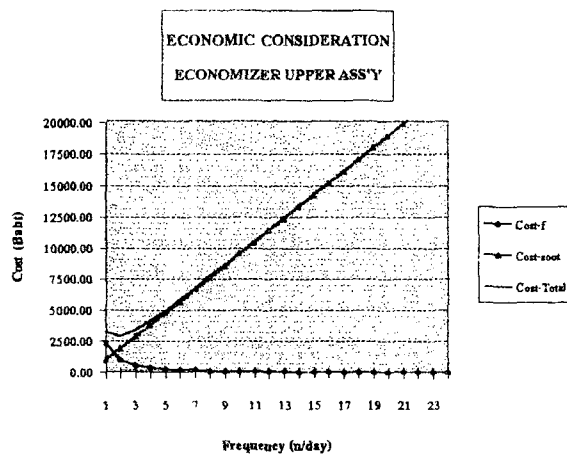
รูปที่ 10 การประเมินผลทางเศรษฐศาสตร์ของ Burner Area (Furnace Zone) ($n = 22$ Times/Day)



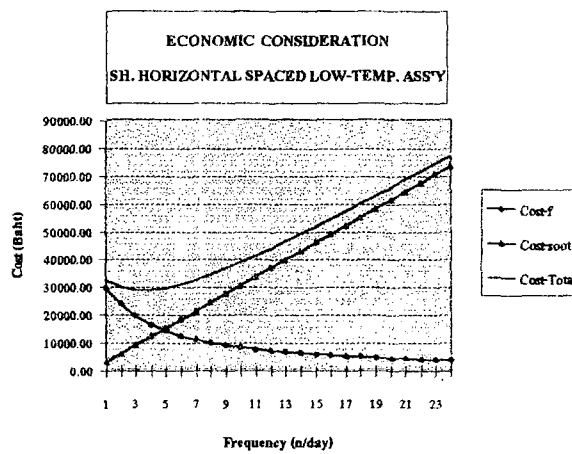
รูปที่ 11 การประเมินผลทางเศรษฐศาสตร์ของ Middle Area (Furnace Zone) ($n = 22$ Times/Day)



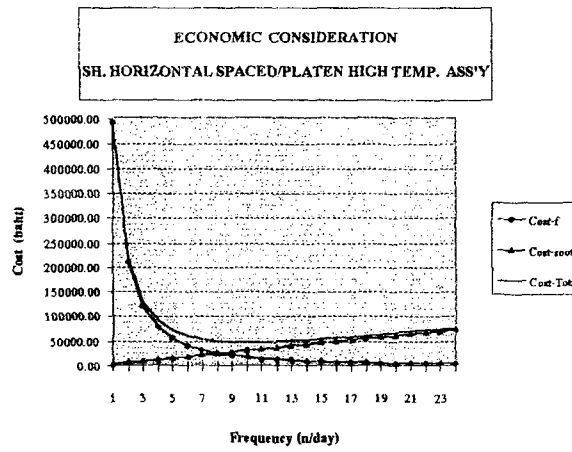
รูปที่ 12 การประเมินผลทางเศรษฐศาสตร์ของ Economizer Interim./Lower Ass'y ($n = 3$ Times/Day)



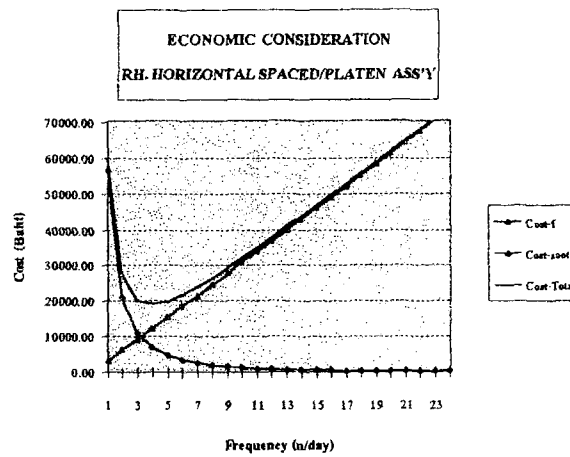
รูปที่ 13 การประเมินผลทางเศรษฐศาสตร์ของ Economizer
Upper Ass'y ($n = 2$ Times/Day)



รูปที่ 14 การประเมินผลทางเคราะห์สัศจรรย์ของ SH Horizontal
Low Temp. Ass'y ($n = 4$ Times/Day)



รูปที่ 15 การประเมินผลทางเคมีคอลร์ชของ SH Horiz
High Temp. Ass'y (n = 10 Times/Day)



รูปที่ 16 การประเมินผลทางเคราะห์ค่าสตั๊ดของ RH
Horizontal Ass'y ($n = 4$ Times/Day)

จากการฟรุปที่ 10 – 16 เมื่อนำมาหาจุดที่เหมาะสม
ในการใช้เครื่องเป่าเต้า เพื่อหาค่าใช้จ่ายที่เกิดขึ้นจากความ
ลื้นเปลืองเชื้อเพลิง และค่าใช้จ่ายในการใช้เครื่องเป่าเต้าทำ
ความสะอาดห้อง ได้ผลตามตารางที่ 3 โดยพบว่าค่าใช้จ่าย
รวม ($\text{Cost}_{\text{Total}}$) เท่ากับ 115,452.35 บาทต่อ 24 ชั่วโมง ใน
หนึ่งวันจะเดินเครื่องตามสภาวะที่กำหนดได้ 13 ชั่วโมง ดัง
นั้นค่าใช้จ่ายรวมประมาณ 62,537 บาทต่อวัน ส่วนค่าใช้จ่าย
ที่เกิดขึ้นจากการใช้เครื่องเป่าเต้า ในอดีตที่ผ่านมา จะได้ตาม
ตารางที่ 4 โดยพบว่าค่าใช้จ่ายรวม ($\text{Cost}_{\text{Total}}$) เท่ากับ
640,637.50 บาทต่อ 24 ชั่วโมง ดังนั้นค่าใช้จ่ายรวมประมาณ
347,012 บาทต่อวัน

เมื่อทำการเบริยนเทียนตารางที่ 3 และ 4 ถ้าใช้เครื่องเป่าถ้าตามความถี่ที่เหมาะสมกับการเกาะสะสมตัวของเด็กตามรูปแบบการเปลี่ยนแปลงค่าความด้านแทนความร้อนแล้วจะสามารถประหยัดค่าใช้จ่ายได้ประมาณ 284,475 บาทต่อวัน หรือประมาณ 93,307,800 บาทต่อปี คิดเป็นเชื้อเพลิงถ่านหินที่ประหยัดได้ 171,838 ตันต่อปี หรือประมาณ 8.13% ของค่าเชื้อเพลิงที่ใช้กังหันด

ตารางที่ 3 ความถี่ที่เหมาะสมและค่าใช้จ่ายในการใช้เครื่องเป่าเล็กจากกรวยกระห์ร์

Heating Area (Pumped/Convection Zone)	n	Q _i (BTU)	Conv _i (BTU)	Conv _h (BTU)	Conv _c (BTU)	Conv _{hs} (BTU)	Conv _{hc} (BTU)	Conv _{ht} (BTU)	Conv _{gt} (BTU)
1. Furnace Burner Zone	22.0	29.24	1454.55	864.79	1.72	2007.72	2874.23	4328.79	7972.00
2. Furnace Middle Zone	22.0	30.02	1493.41	864.79	1.72	2007.72	2874.23	4307.65	8043.65
3. From Intern./Lower Asy	3.0	50.40	2507.26	4128.60	6.76	1545.60	5680.96	8185.23	15079.60
4. Economizer Upper Asy	2.0	19.40	965.34	1376.20	2.25	515.20	1893.65	2559.00	5265.00
5. SH. Low Temp. Asy	4.0	333.80	16606.81	9684.57	11.27	2576.00	12271.64	28578.45	53183.10
6. SH. High Temp. Asy	10.0	343.76	17102.71	24210.92	28.16	4060.00	30679.10	47718.80	87996.00
7. RH. Asy	4.0	136.21	6776.80	9684.37	11.27	2576.00	12271.64	1948.44	36080.00
ECONOMIC CONSIDERATION	Mean	134.69	6700.98	7259.15	9.03	23240.0	9792.21	16493.19	30742.00
	Total	942.83	46968.89	50814.04	63.18	17668.24	68345.46	115452.33	212619.00

ตารางที่ 4 ความถี่ในการใช้เครื่องเป่าเถ้าและค่าใช้จ่าย ในอัตติที่ปฏิบัติตาม

Heating Area (Furnace/Convection Zone)	n (Time/Day)	Q (kW)	Cost _f (Baht)	Cost _a (Baht)	Cost _b (Baht)	Cost _M (Baht)	Cost _{Surf} (Baht)	Cost _{Total} (Baht)	m _{Surf} (kg)
1. Furnace Burner Zone	6.0	287,42	14509.29	233.85	0.47	547.56	783.88	13093.18	27795.9
2. Furnace Middle Zone	6.0	291,85	14520.02	233.85	0.47	547.56	783.88	13033.91	28184.0
3. Econ. Interm./Lower Ass'y	1.0	319.42	15891.32	1376.20	2.25	515.20	1893.65	17784.97	32753.2
4. Economizer Upper Ass'y	1.0	46.43	2309.79	688.10	1.13	257.60	946.83	3256.62	5997.5
5. SH. Low Temp. Ass'y	1.0	595.90	28646.68	2421.09	2.82	644.00	3067.91	32714.59	60247.9
6. SH. High Temp. Ass'y	1.0	9924.32	495747.40	2421.09	2.82	644.00	3067.91	496815.31	914045.3
7. RH. Ass'y	1.0	1137.68	56601.02	2421.09	2.82	644.00	3067.91	59668.93	109887.5
PAST TIME									
	Mean	1800.46	89575.08	1399.90	1.82	542.85	1944.57	91519.64	168544.5
	Total	12603.23	627025.37	9799.28	12.77	3799.92	13611.97	60637.50	117981.2

5. สรุปผลการวิจัย

5.1 รูปแบบการเปลี่ยนแปลงค่าความต้านทานความร้อนของเถ้า ที่เกาะสะสมตัวบนผิวท่อ ในหม้อก่อเนิดไอน้ำ หน่วยที่ 8-11 ที่ใช้ถ่านหินลิกไนต์จากเหมืองแม่เมาะเป็นเชื้อเพลิง จะมีแนวโน้มเป็นรูปแบบ Asymptotic ตามสมการ $R_f = R_f^* (1 - e^{-\theta t})$ โดยค่า R_f ของบริเวณ Furnace Zone และ SH. Horizontal High Temp. Ass'y จะมีแนวโน้มเพิ่มขึ้นมาก ที่สุด และคงที่บริเวณเด้งกล่ำๆจะมีการเกาะตัวของเถ้าในอัตราสูง จึงต้องใช้ความถี่ในการใช้เครื่องเป่าเถ้าทำความสะอาดมาก ประมาณ 22 และ 10 ครั้งต่อวัน ตามลำดับ ส่วนในบริเวณ Economizer Interm./Lower Ass'y และ Economizer Upper Ass'y ค่า R_f มีแนวโน้มเพิ่มขึ้นช้าๆ และว่ามีการเกาะตัวของเถ้าน้อย ท่อค่อนข้างสะอาด จึงใช้เครื่องเป่าเถ้าน้อย คือ ใช้ความถี่ในการเป่าเถ้า ประมาณ 3 และ 2 ครั้งต่อวัน สำหรับบริเวณ SH. Horizontal Low Temp. Ass'y และ RH. Horizontal Ass'y ค่า R_f มีการเพิ่มขึ้นเป็นกลาง ความถี่ที่ใช้ในการเป่าเถ้า ประมาณ 4 ครั้งต่อวัน

5.2 การประเมินทางเศรษฐศาสตร์ เมื่อมีการใช้เครื่องเป่าเถ้าที่เหมาะสม ตามสภาพการเกาะสะสมตัวของเถ้าในแต่ละพื้นที่แล้ว จะทำให้สิ้นเปลืองค่าใช้จ่ายน้อยที่สุด จากการวิจัยจะเสียใช้จ่ายประมาณ 62,537 บาทต่อวัน เมื่อเปรียบเทียบกับการใช้เครื่องเป่าเถ้าในอัตติที่ผ่านมาถึงปัจจุบันนั้น พบว่า ต้องเสียค่าใช้จ่าย ประมาณ 347,012 บาทต่อวัน ดังนั้นมีการทำความสะอาดท่อด้วยความถี่ที่เหมาะสมตามสภาพการเกาะตัวของเถ้าบนผิวท่อตามที่วิจัยแล้ว จะสามารถประหยัดค่าใช้จ่ายได้ ประมาณ 284,475 บาทต่อวัน หรือประมาณ 93,307,800 บาทต่อปี คิดเป็นประมาณถ่านหินลิกไนต์ที่ประหยัดได้ ประมาณ 171,838 ตันต่อปี หรือประมาณ 8.13 % ของค่าเชื้อเพลิงที่ใช้ทั้งหมด

เอกสารอ้างอิง

- [1] สุนันท์ ศรัณยนิตย์. (2530). "การถ่ายเทความร้อน". (พิมพ์ครั้งที่ 2). กรุงเทพฯ : ภาควิชาวิศวกรรมเครื่องกล คณะวิศวกรรมศาสตร์ สถาบันเทคโนโลยีพระจอมเกล้า ชลบุรี.
- [2] Agrawal, A. K. and Kakac, S. (1991). "Heat Exchanger Fouling". in S. Kakac (Ed.), Boilers, Evaporators and Condensers, (pp. 107-141). U.S.A.: John Wiley & Sons, Inc.
- [3] Epstein, N. (1983). "Fouling of Heat Exchangers". in J. Taborek, G. F. Hewitt and N. Afgan (Eds.), Heat Exchangers: Theory and Practice, (pp. 795-815). U.S.A.: Mc.Graw-Hill Book Company.
- [4] Kakac, S. and Paykoc, E. (1991). "Basic Design Methods of Heat Exchangers". in S. Kakac (Ed.), Boilers, Evaporators and Condensers, (pp. 9-68). U.S.A.: John Wiley & Sons, Inc.
- [5] O'Callaghan, G. M. (1981). "Fouling of Heat Transfer Equipment: Summary Review". in S. Kakac, A. E. Bergles and F. Mayinger (Eds.), Heat Exchangers: Thermal-Hydraulic Fundamentals and Design, (pp. 1037-1047). U.S.A.: Mc.Graw-Hill Book Company.
- [6] Pinheiro, Joao De Deus R. S. (1981). "Fouling of Heat Transfer Surfaces. in S. Kakac, A. E. Bergles and F. Mayinger (Eds.), Heat Exchangers: Thermal-Hydraulic Fundamentals and Design, (pp. 1013-1035). U.S.A.: Mc.Graw-Hill Book Company.
- [7] Singer, G. J. (1991). "Combustion Fossil Power". (4th ed.). U.S.A: Combustion Engineering, Inc.
- [8] Wynnyckyj, R. J. and Rhodes, E. (1983). "Mechanisms of Furnace Fouling". in J. Taborek, G. F. Hewitt and N. Afgan (Eds.), Heat Exchangers: Theory and Practice, (pp. 817-831). U.S.A.: Mc.Graw-Hill Book Company.